

마이크로 PIV 기법을 이용한 미세채널 내부 electro-osmotic 유동 해석

김 양 민* · 이 상 준†

Analysis of Electro-osmotic Flow in a Micro Channel Using a Micro PIV

Yang-Min Kim · Sang-Joon Lee

Abstract

Electro-osmotic flow in a PDMS microchannel of $66\mu\text{m} \times 200\mu\text{m} \times 3\text{cm}$ has been investigated using a micro PIV system. The field of view was $1056\mu\text{m} \times 200\mu\text{m}$ and instantaneous velocity fields were obtained using two-frame cross-correlation method with 64×64 pixels² interrogation window. In this study, we focused on the effect of applied electric field on the variation of internal flow with varying the electric field and seeding particles. The electro-osmotic flow shows a flat velocity profile and the mean velocity is proportional to the applied electric field.

Key Words : Micro-PIV (마이크로 입자영상유속계), Electro-osmotic Flow (전기삼투 유동), EDL (전기적 이중층)

1. 서 론

생명, 의료 분야에 관한 관심의 증대와 MEMS 기술의 발전이 맞물려, lab-on-a-chip (LOC)에 관한 연구가 활발히 진행되고 있다. LOC은 마이크로채널을 통해 용액과 시료를 운반한다. 구동 방법으로는 압력을 이용한 방법과 전기장을 걸어서 electro-osmosis 현상을 이용하는 방법이 있다. electro-osmosis를 이용한 방법은 micropump 와 같은 부차적인 구조물을 설치할 필요 없이 단순히 전기장만 걸어주면 되므로 chip 을 보다 소형화할 수 있는 장점이 있다. 또한 채널 내부에서 속도가 폭 방향으로 거의 균일한 유동형태를 가지므로, 원하는 시료를 동일선상에서 운송할 수 있는 이점을 지닌다[1].

Electro-osmotic 유동은 표면에 전하를 띤 채널 내부에 유체를 채우고 거기에 전기장을 걸어주게 되면 전기장과 평행한 방향으로 유체가 이송되는 현상이다. 채널 표면이 전하를 띠면, 유체에 존재하는 반이온 (counterions)을 끌어당겨서 electro-

osmotic potential이 형성되는데 이와 같이 이온이 재배치되는 영역을 electric double layer (EDL)이라 한다. 여기에 전기장을 걸어주게 되면 EDL이 전기장에 의해 힘을 받아 움직이게 되고, 전체 유체는 momentum transfer에 의해 전기장이 가해진 방향으로 움직인다. EDL의 두께는 Debye length에 의해 결정되는데, 10mM 용액에서 대략 3nm의 두께를 가지며 농도가 증가하면 그 크기는 더 작아진다. EDL의 두께는 마이크로 채널 크기에 비해 매우 작다.

EDL은 다시 Stern layer와 diffuse layer로 구성되어 있다. Stern layer는 벽근처에 반이온들이 강하게 잡혀있는 얇은 층으로 이온들이 움직이지 않기 때문에 유체층이라 보기 어려운 층이다. 반면 diffuse layer 구간은 이온들의 움직임이 존재하게 된다. Stern layer와 diffuse layer의 경계부분에서 생성되는 전위를 zeta potential, ζ 라 부르는데 이것이 electro-osmotic 유동의 속도를 결정하는 역할을 한다. Helmholtz-Smoluchowski 식에 의하면 electro-osmotic 유동의 속도는 zeta potential (ζ), electric permittivity (ϵ), 전기장 (E)에 비례하고, electric viscosity (μ)에 반비례 한다.

LOC의 성능을 개선하고 LOC 내부에서의 유체 수송을 원활히 하기 위해서는 마이크로 채널 내부에서의 electro-osmotic 유동 특성을 정량적으

* 포항공과대학교 기계공학과 교수

E-mail : sjlee@postech.ac.kr

† 포항공과대학교 기계공학과 대학원

로 측정하고 분석할 필요가 있다.

본 연구에서는 electro-osmotic 유동의 유동구조를 가시화하고, 전기장의 세기와 주적입자들을 변화시키면서 LOC 내부 유동특성 변화를 해석하였다.

2. 실험장치 및 실험방법

Fig. 1은 본 연구에 사용되어진 실험장치 구성으로, 레이저 빔을 채널의 아래쪽에서 위로 꺾어올려 시험부를 직접 조명하고, 렌즈 앞에 emission filter를 설치하여 입자의 형광 영상을 획득하였다. 이미지를 확대하기 위해 long distance microscope를 사용하였다. 본 실험에서는 입자의 형광 영상을 얻기 위해서 직경 약 $3\mu\text{m}$ 인 붉은색 형광 폴리머 구형입자를 사용하였다. 이 입자들은 542nm 파장의 빛에 여기하고, 612nm 파장에서 형광 빛을 방출한다. 입자를 여기시키기 위해 Nd:YAG 레이저(532nm)를 사용하였으며, 570nm cutoff filter를 사용하여 형광 영상만을 획득하였다. 또한 미세입자로부터 형광된 빛의 광량은 산란광에 비해 상대적으로 매우 적기 때문에 해상도가 $1280\times 1024 \text{ pixels}^2$ 인 12bit ICCD 카메라를 사용하여 영상을 획득하였다.

사용한 마이크로채널은 SU-8 (photoresist)로 채널 형상을 만든 후, 그 위에 PDMS (poly-dimethyl-siloxane) 를 부어 제작하였다. 채널 높이는 $66\mu\text{m}$, 폭은 $200\mu\text{m}$, 길이는 3cm 이다. 유체가 흐르게 될 때 따라 형성되는 압력차를 무시할 정도로 줄이기 위하여, 입구와 출구 상부에 $1\text{cm} \times 1\text{cm}$ 크기의 충분히 큰 저장부를 만들었다. 마이크로 채널은 실험하기 전에 plasma cleaner를 이용하여 표면 산화 처리 하여 마이크로 채널 내부가 음전하를 띠도록 하였다. 측정구간은 $1056\mu\text{m} \times 200\mu\text{m}$ 이며 vector의 공간분해능은 $53\mu\text{m} \times 53\mu\text{m}$ 이었다. 속도장은 상호 상관 PIV 방식으로 구하였는데, 50% overlapping 으로 계산되어졌다. 50 장의 순간 속도장을 얻고 암상을 통계 처리하여 평균속도장을 구하였다.

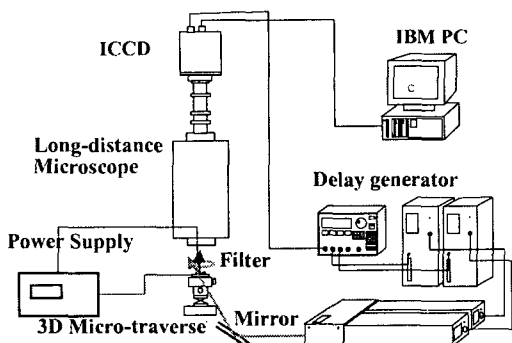


Fig. 1 Schematic diagram of micro PIV system and experimental apparatus

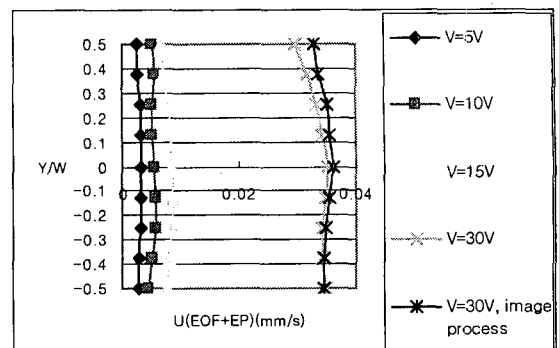


Fig. 2 Velocity profiles vs applied electric voltage

작동유체는 DI(de-ionized) water 를 사용한 250 mM Tris 용액을 사용하였으며, 5, 10, 15, 30V 로 전압을 변화시키면서 마이크로 PIV 기법을 이용해 LOC 내부 속도장 변화를 측정하였다. (Fig. 2)

3. 결과 및 토의

본 실험에서 electro-osmosis 현상에 의해 형성된 유동은 압력 차에 의해 형성되는 포물선 형태의 속도분포와는 달리, 규칙한 속도 분포를 가진다. 또한 Helmholtz 식에서와 같이 걸어준 전기장의 세기에 비례하여 평균유속이 증가하는 경향을 보였다. 10V/cm 의 전기장을 걸어준 경우 0.03mm/s 정도의 속도를 얻을 수 있었다.

후기

본 연구는 과학기술부 국가지정연구실 사업의 지원으로 수행되었으며 이에 감사드립니다

참고문현

- 1) M.J. Kim, A. Beskok, K.D. Khim, 2002, "Electro-osmosis-driven micro-channel flows: A comparative study of microscopic particle image velocimetry measurements and numerical simulations", Experiments in Fluids, Vol. 33, pp. 170~180